

Fondamenti di Grafica Tridimensionale:

Global Illumination

dr. Francesco Banterle

francesco.banterle@isti.cnr.it

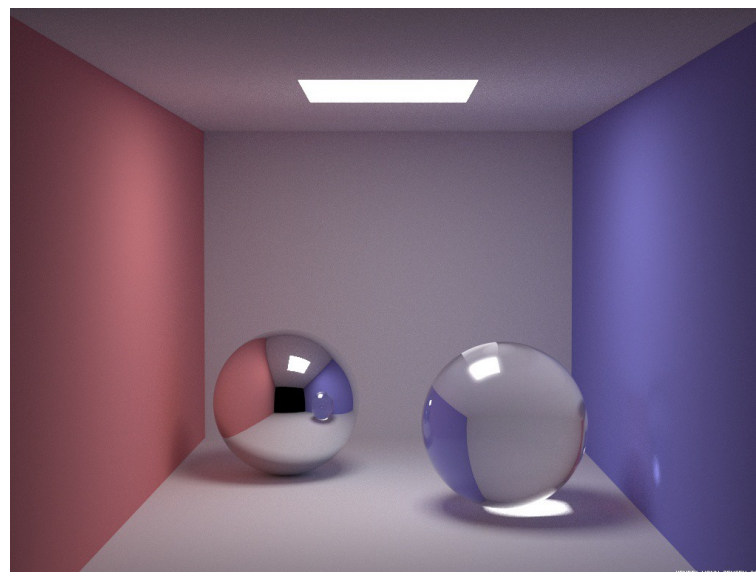
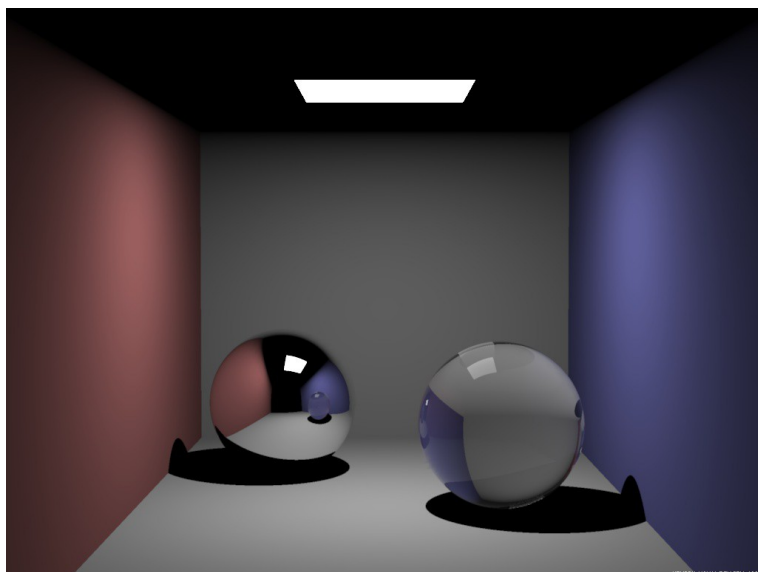
slides basate su quelle di:

dr. Paolo Cignoni

p.cignoni@isti.cnr.it

<http://vcg.isti.cnr.it/~cignoni>

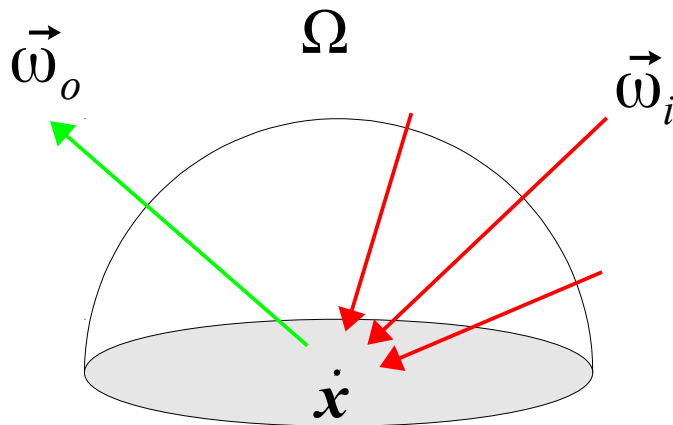
Global Illumination: Perché?



The Rendering Equation

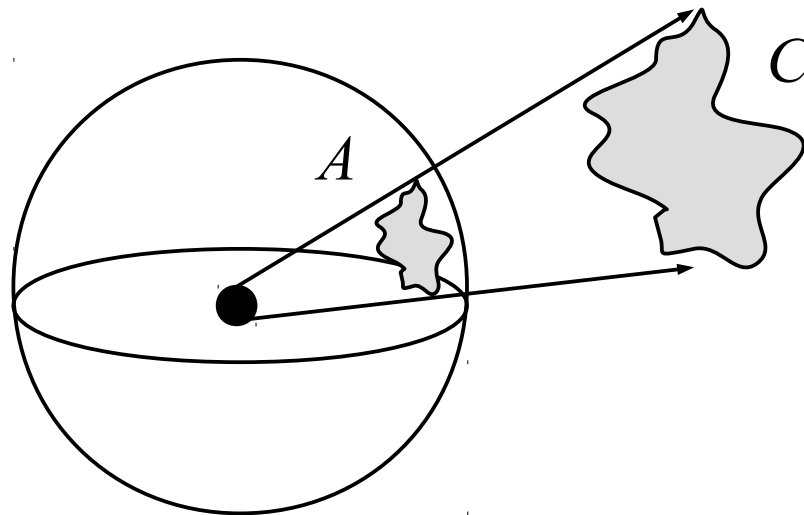
“To provide an unified context for viewing rendering algorithms as more or less accurate approximations to the solution for a single equation” [Kajiya 1986]

$$L_o(\mathbf{x}, \vec{\omega}_o) = L_e(\mathbf{x}, \vec{\omega}_o) + \int_{\Omega} f_r(\mathbf{x}, \vec{\omega}_i \rightarrow \vec{\omega}_o) L_i(\mathbf{x}, \vec{\omega}_i) (\vec{\omega}_i \cdot \vec{n}) d\vec{\omega}_i$$



Radiometria

- **Flusso radiante** Φ : è la quantità di energia che arriva ad una regione di spazio per unità di tempo
- L'unità di misura è il watt (W) o Joule per secondo (J /s)
- **Angolo solido**: $\Omega = A / r^2$ [sr]



Radianza

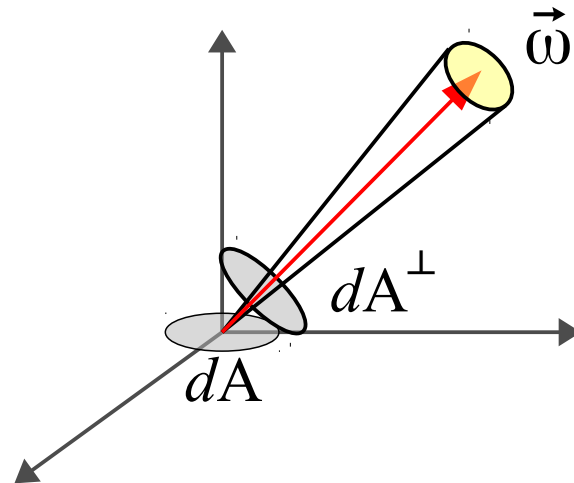
- La *radianza* L è una delle 8 unità fisiche radiometriche del S.I.:

$$L = \frac{d\Phi}{d\vec{\omega} dA^\perp}$$

- Misura l'intensità di un raggio luminoso definita come la potenza per angolo solido unitario per area proiettata.

- Si misura in: $W / (sr m^2)$

Nota: $dA^\perp = |\cos\theta| d\omega$



Irradianza

• **Irradianza**, E , è l'integrale della radianza su tutte le direzioni; pesato per il coseno della direzione:

$$E(\mathbf{x}, \vec{n}) = \int_{\Omega(\vec{n})} L_i(\mathbf{x}, \vec{\omega}) \cos \theta d\vec{\omega}$$

- θ è l'angolo tra \vec{n} e $\vec{\omega}$
 - $L_i(\mathbf{x}, \vec{\omega})$ è la radianza in arrivo
 - **NOTA:** $d\vec{\omega} = \sin \theta d\theta d\phi$
- L'irradianza si misura in W / m^2

Radiosity

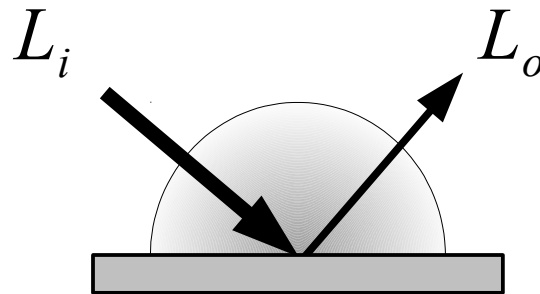
- ***Radiosity***, B , è l'energia per unità di area che lascia una superficie per unità di tempo
- Unità di misura: W/m^2

Radianza Riflessa

- La radianza riflessa è definita come:

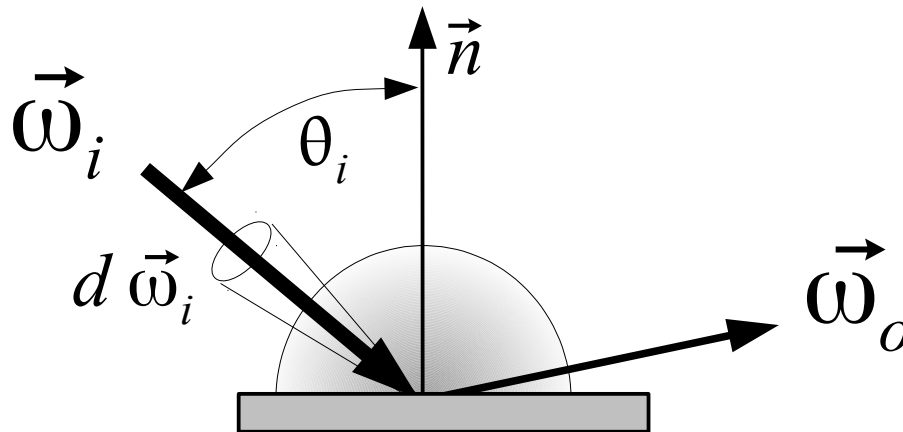
$$L_o(\mathbf{x}) = \int \rho L_i(\mathbf{x}, \vec{\omega}) d\vec{\omega}$$

e rappresenta la quantità di energia (luce) che rimbalza da una direzione verso un'altra.



Con variazione direzionale

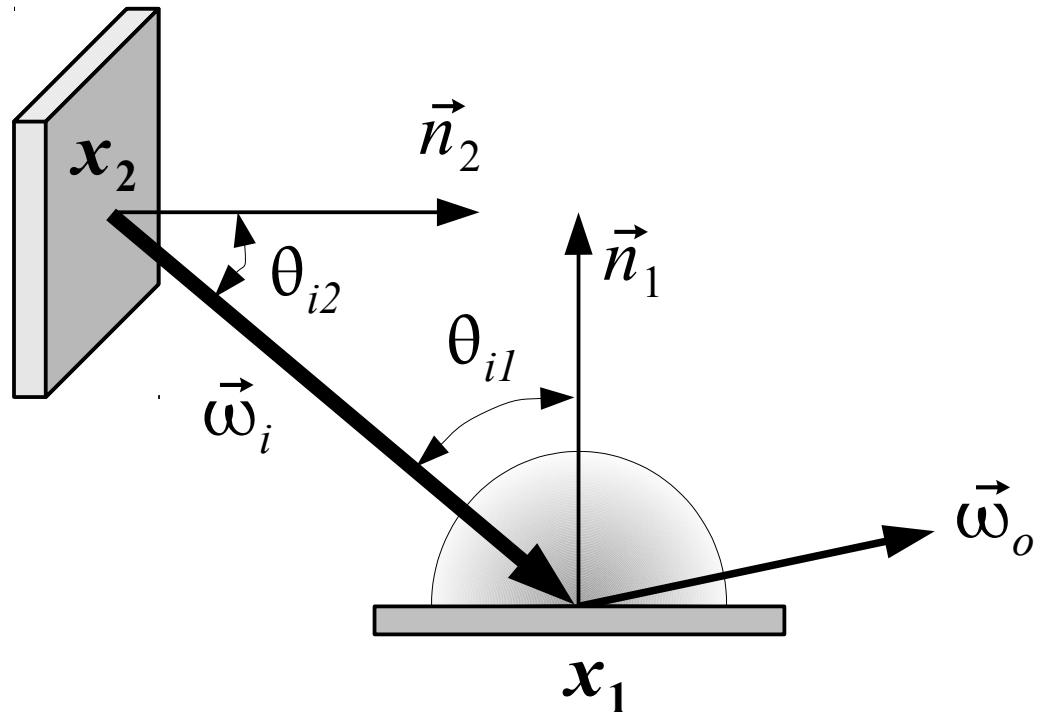
$$L_o(\mathbf{x}, \vec{\omega}_o) = L_e(\mathbf{x}, \vec{\omega}_o) + \int_{\Omega} f_r(\mathbf{x}, \vec{\omega}_i \rightarrow \vec{\omega}_o) L_i(\mathbf{x}, \vec{\omega}_i) \cos \theta d \vec{\omega}_i$$



Integrazioni di Superficie

$$L_o(\mathbf{x}, \vec{\omega}_o) = L_e(\mathbf{x}, \vec{\omega}_o) + \int_S f_r(\mathbf{x}, \vec{\omega}_i \rightarrow \vec{\omega}_o) L_i(\mathbf{x}, \vec{\omega}_i) g(\mathbf{x}, \mathbf{x}') \frac{\cos \theta_{i1} \cos \theta_{12}}{\|\mathbf{x} - \mathbf{x}'\|^2} dA$$

$$d\vec{\omega} = \frac{dA \cos(\theta)}{r^2}$$



BRDF: Bidirectional Reflectance Distribution Function

• Formalizzazione per descrivere come la luce interagisce con un materiale

$$f_r(\mathbf{x}, \vec{\omega}_i \rightarrow \vec{\omega}_o) = \frac{dL_o(\mathbf{x}, \omega_o)}{dE(p, \omega_i)} = \frac{dL_o(\mathbf{x}, \omega_o)}{L_i(\mathbf{x}, \omega_i) \cos(\theta_i) d\vec{\omega}_i}$$

• Proprietà:

- $f_r(\mathbf{x}, \vec{\omega}_i \rightarrow \vec{\omega}_o) = f_r(\mathbf{x}, \vec{\omega}_o \rightarrow \vec{\omega}_i)$

- $\int_{\Omega(\vec{n})} f_r(\mathbf{x}, \vec{\omega}_i \rightarrow \vec{\omega}_o) \cos(\theta_i) d\omega_i \leq 1$

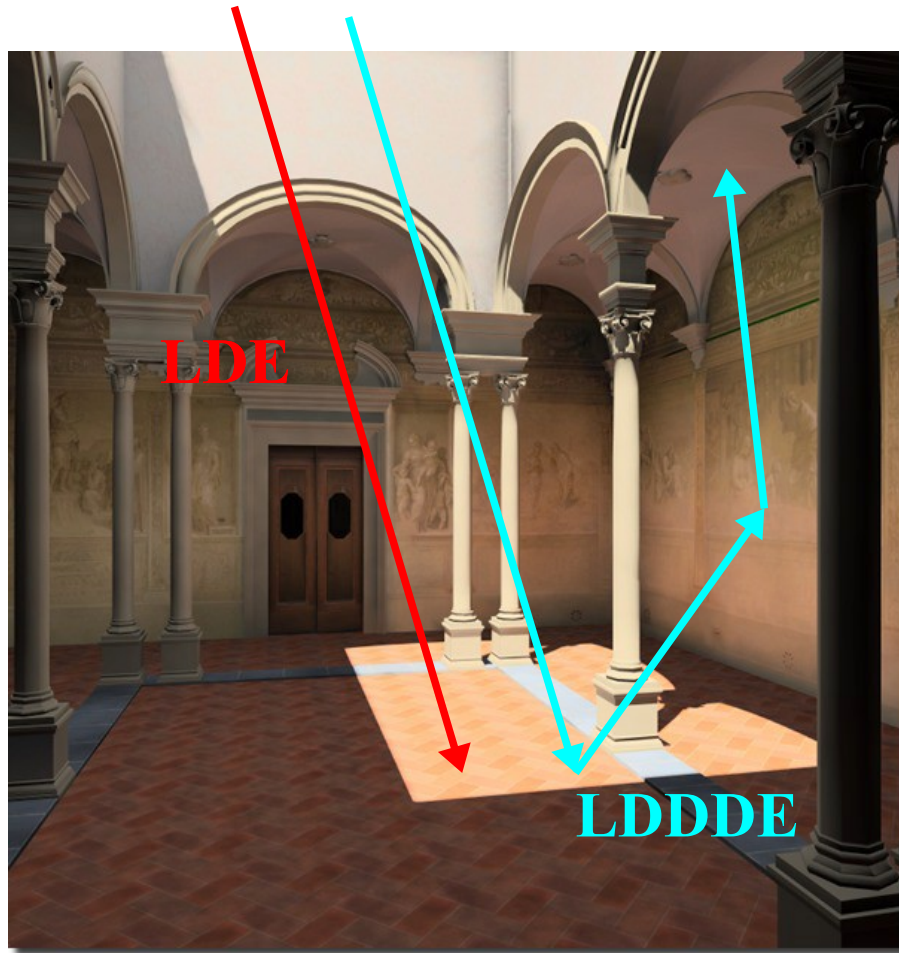
Notazione Light Paths

- Una grammatica regolare introdotta da Heckbert, utile per la classificazione
- Si descrive il percorso della luce dalla sorgente luminosa all'occhio:

$$L(S|D)*E$$

- L: sorgente luminosa (light)
- D: riflessione diffusa (diffuse)
- S: riflessione speculare (specular)
- E: occhio (eye)

Esempi di Light Paths



Esempi di Light Paths: Caustics



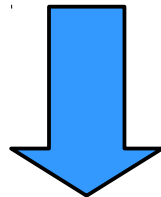
Algoritmi di Global Illumination

- The Radiosity Method
- Whitted Ray-Tracing
- Distorted Ray-Tracing
- Path-Tracing + Irradiance Caching
- Photon Mapping
- Instant Radiosity-based Ray

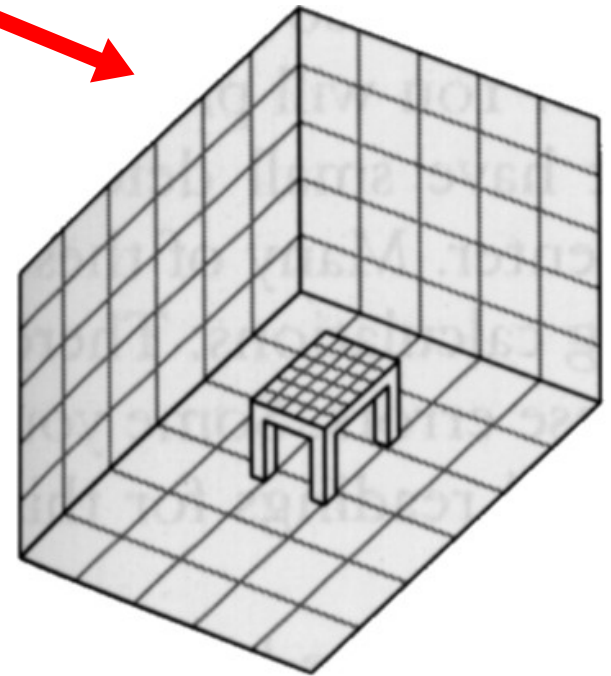
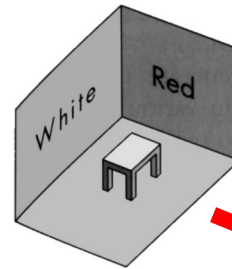
The Radiosity Method

- Nel Radiosity, la scena viene suddivisa in *patch*, ovvero in poligoni piatti e di dimensioni limitate, ciascuno dei quali è considerato perfettamente diffusivo
- Questo implica che:

$$f_r(\mathbf{x}, \vec{\omega}_i \rightarrow \vec{\omega}_o) = \frac{\rho}{\pi}$$

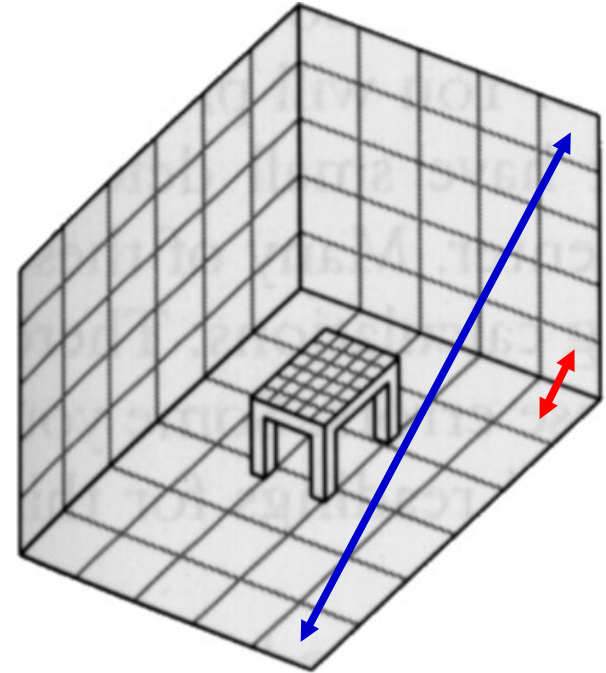


$$L_o(\mathbf{x}, \vec{\omega}_o) = L_e(\mathbf{x}, \vec{\omega}_o) + \frac{\rho}{\pi} \int_{\Omega} L_i(\mathbf{x}, \vec{\omega}_i) (\vec{\omega}_i \cdot \vec{n}) d\vec{\omega}_i$$



The Radiosity Method: Primo Passo

- Il primo passo consiste nel determinare, per ogni coppia di *patch*, i *form factor* (FF).
- I *form factor* definiscono quanta energia lascia un *patch* verso un'altra tenendo conto di:
 - Occlusioni
 - Orientamento
 - Distanza tra le *patch*
- Il calcolo dei *form factor* è $O(n^2)$; la maggior parte dei *form factor* sono nulli:
 - *Patch* lontane non si influenzano



The Radiosity Method: Secondo Passo

- Nel secondo passo, la distribuzione della luce all'interno di una scena corrisponde ad un sistema di equazioni lineari
- La somma della radianza che arriva su una *patch* deve essere uguale alla radianza che esce più la luce assorbita dalla *patch* stessa

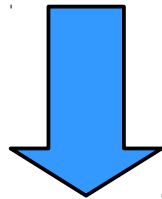
The Radiosity Method: Equazione e Form Factor

• *Form Factor:*

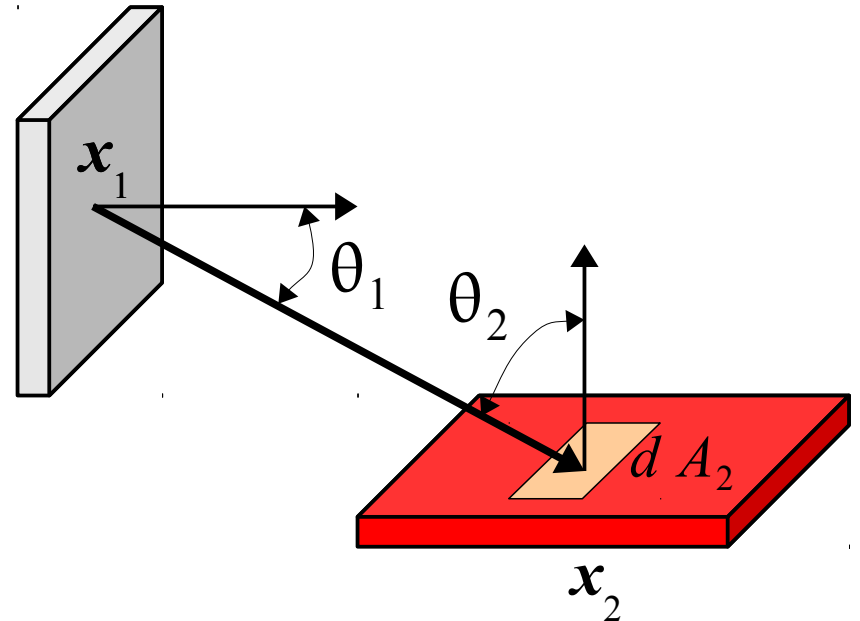
$$F(\mathbf{x}_1, \mathbf{x}_2) = V(\mathbf{x}_1, \mathbf{x}_2) \frac{\cos \theta_1 \cos \theta_2}{\pi \|\mathbf{x}_1 - \mathbf{x}_2\|^2} dA_2$$

• Vale che:

$$F(\mathbf{x}_1, \mathbf{x}_2) A_1 = F(\mathbf{x}_2, \mathbf{x}_1) A_2$$



$$F(\mathbf{x}_1, \mathbf{x}_2) = F(\mathbf{x}_1, \mathbf{x}_2) \frac{A_2}{A_1}$$



The Radiosity Method: Equazione

- In termini di L.E.

$$B(\mathbf{x}') d\mathbf{x}' = \varepsilon(\mathbf{x}') d\mathbf{x}' + \rho(\mathbf{x}') \int_S B(\mathbf{x}) F(\mathbf{x}, \mathbf{x}') d\mathbf{x}$$

L'integrale viene tipicamente discretizzato ottenendo una sommatoria:

- *Patch* discrete invece di infinitesimali della superficie

$$B(p_i) A(p_i) = \varepsilon(p_i) A(p_i) + \rho(p_i) \sum_{j=1}^n B(p_j) A(p_j) F_{j,i}$$

The Radiosity Method: Discretizzazione

- Sfruttando il principio di reciprocità dei *form factor*, si divide per

$$A(p_i)$$

ottenendo il seguente risultato:

$$B(p_i) = \varepsilon(p_i) + \rho(p_i) \sum_{j=1}^n B(p_j) F_{j,i}$$

The Radiosity Method: Sistema Lineare

$$B(p_i) = \varepsilon(p_i) + \rho(p_i) \sum_{j=1}^n B(p_j) F_{j,i}$$

$$B_i = E_i + R_i \sum_{j=1}^n B_j F_{j,i}$$

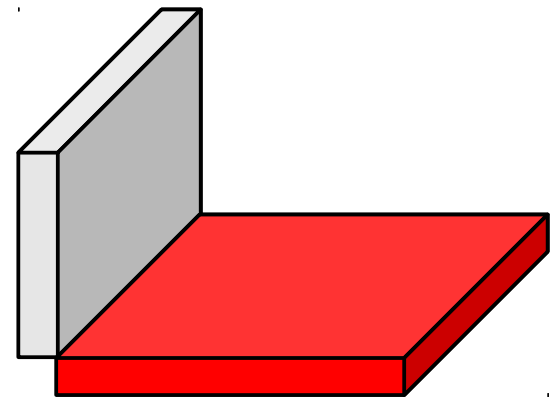
$$\begin{bmatrix} 1 - R_1 F_{11} & -R_1 F_{12} & \cdots & -R_1 F_{1n} \\ -R_2 F_{21} & 1 - R_2 F_{22} & \cdots & -R_2 F_{2n} \\ \vdots & & \ddots & \vdots \\ -R_n F_{n1} & \cdots & & 1 - R_n F_{nn} \end{bmatrix} \begin{bmatrix} B_1 \\ B_2 \\ \vdots \\ B_n \end{bmatrix} = \begin{bmatrix} E_1 \\ E_2 \\ \vdots \\ E_n \end{bmatrix}$$

The Radiosity Method: Calcolo del Form Factor

- I *form factor* discreti tra due *patch* sono definiti come

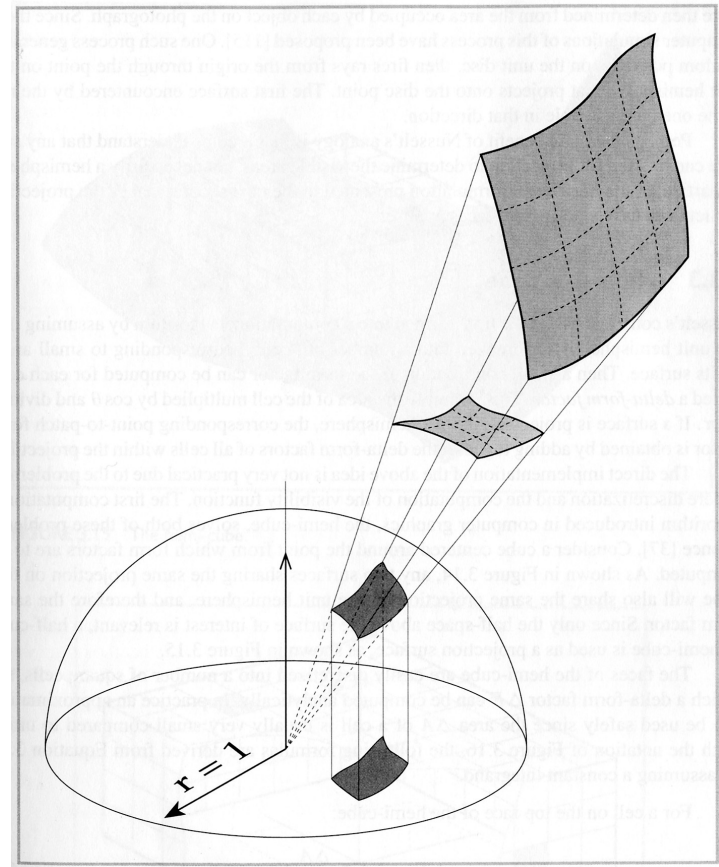
$$F_{i,j} = \frac{1}{A_i} \int_{A_i} \int_{A_j} \frac{\cos(\varphi_i) \cos(\varphi_j)}{\pi r_{i,j}^2} dA_j dA_i$$

- In casi molto semplici esiste una forma chiusa
 - Caso rettangolo-rettangolo, totalmente non occlusi
 - In generale sono risultati solo teorici...



The Radiosity Method: Calcolo del Form Factor

- Ogni patch con la stessa proiezione sulla semisfera ha lo stesso *form factor*
- Metodo di Montecarlo:
 - Campionare (uniformemente in area proiettata sul piano) la semisfera
 - “Lanciare” un raggio
 - *Form factor* per ogni *patch* è la somma pesata del numero di raggi che colpisce quella *patch*



The Radiosity Method: Approccio Iterativo

- Approccio iterativo:

- Evitare di calcolarsi e memorizzarsi tutti i *form factor* subito
- Avere una soluzione approssimata subito che migliora ad ogni iterazione

- Iterazione:

- Selezionare la *patch i*-esima; massima differenza di *unshot*
- Calcolare F_{ij} , per ogni *patch j*-esima:
 - Aggiornamento del radiosity della *patch j*-esima
 - Aggiornamento dell'emissione della *patch j*-esima
- Assegnare l'emissione della *patch i*-esima a zero

The Radiosity Method: Approccio Iterativo

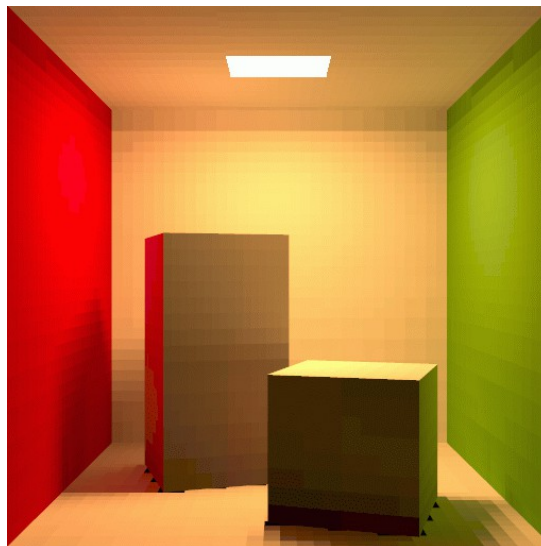
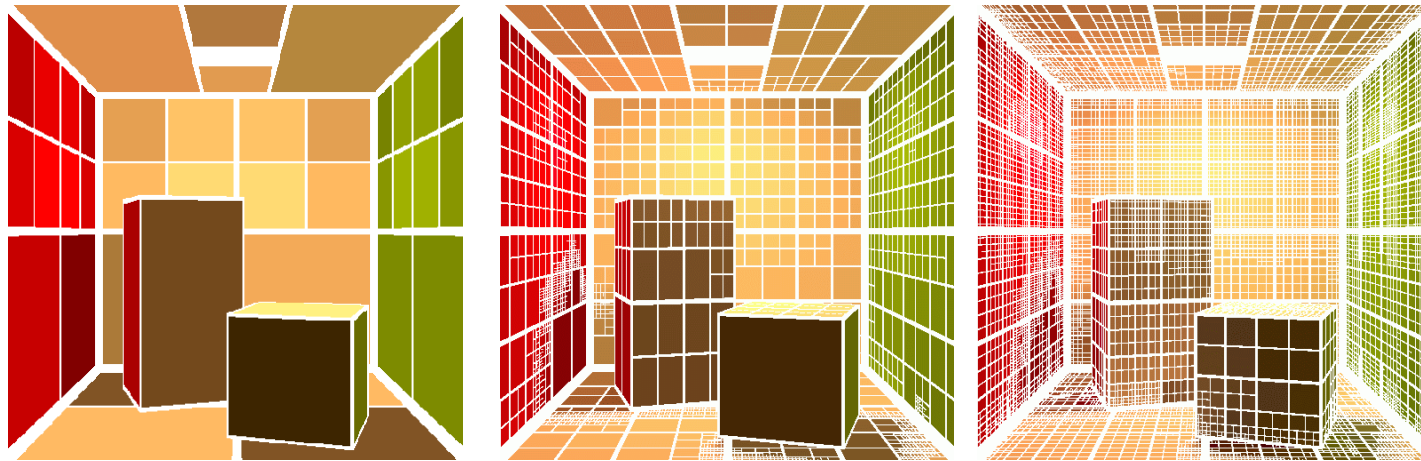


0 rimbalzi

1 rimbalzi

2 rimbalzi

The Radiosity Method: Raffinamento della Mesh



The Radiosity Method: Conclusioni

- Path Notation: LD^*E
- Considera l'interazione tra le superfici della scena
- La soluzione è tipicamente *view-independent*

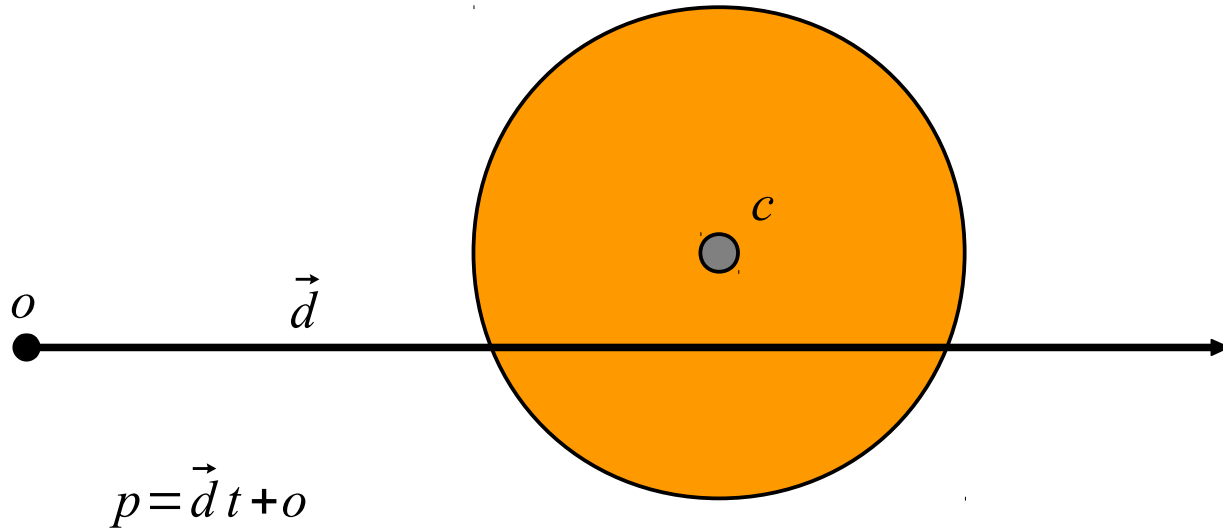
- **Problemi:**
 - Discretizzazione della scena in *patch*
 - Non modella riflessioni speculari
 - Calcolare *form factor* per tutte le coppie di *patch*
 - Risolvere il sistema

Whitted Ray-Tracing

- Un algoritmo ricorsivo; partenza dalla camera virtuale
- Per ogni pixel del piano immagine:
 - Viene “lanciato” nella scena un raggio, R
 - Se R colpisce una superficie diffusa, \mathbf{x} , viene calcolata l'illuminazione diretta, lanciando un raggio S (*shadow ray*) verso la luce per controllare se il punto \mathbf{x} è in ombra
- Se la superficie è riflettente o rifrattiva viene lanciato un raggio riflesso o rifratto

Whitted Ray-Tracing: Intersezione con la scena

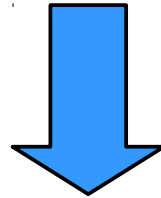
$$(p_x - c_x)^2 + (p_y - c_y)^2 + (p_z - c_z)^2 = r^2$$



Whitted Ray-Tracing: Intersezione con la scena

$$(p_x - c_x)^2 + (p_y - c_y)^2 + (p_z - c_z)^2 = r^2$$

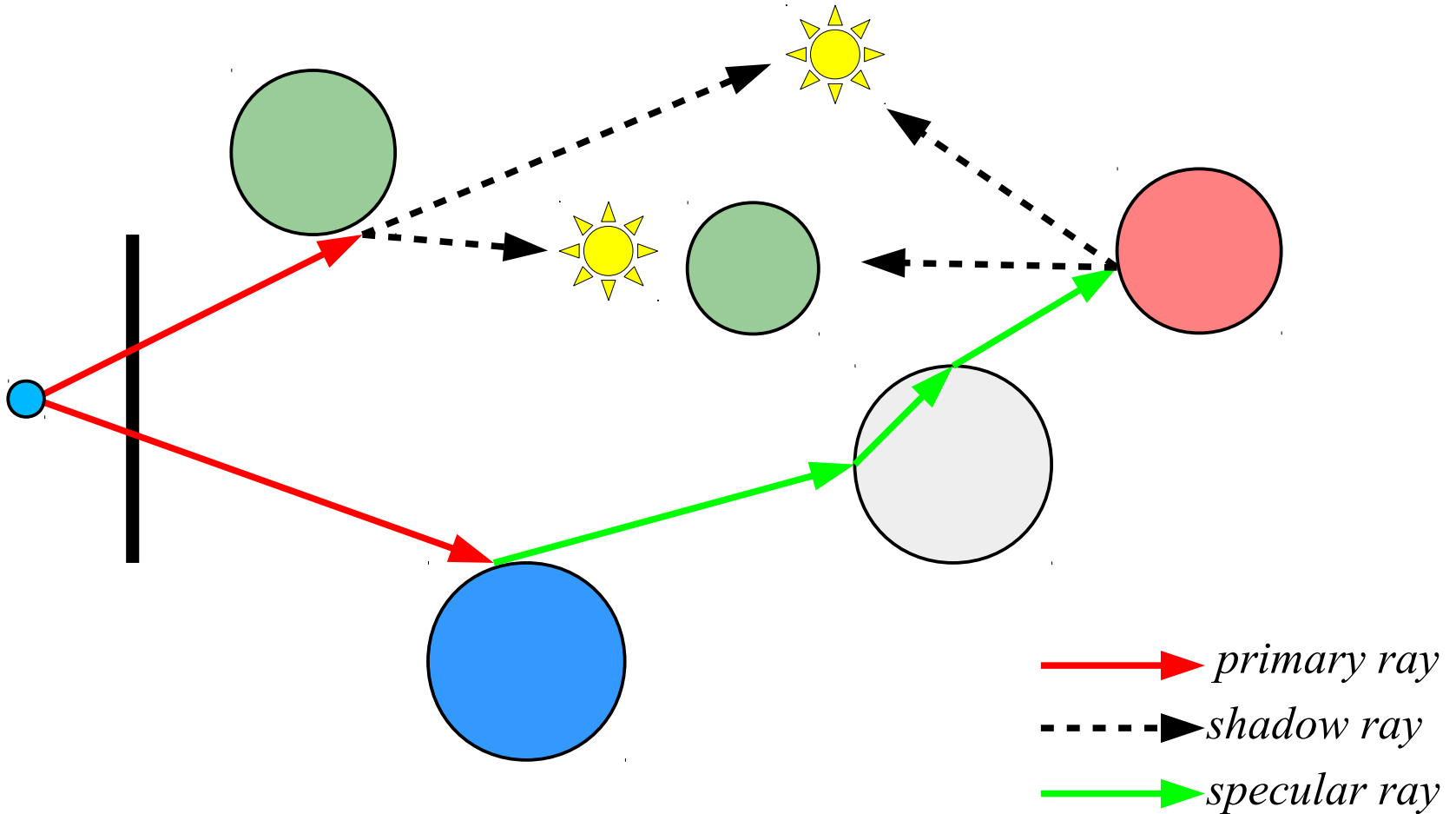
$$p = \vec{d}t + o$$



$$(d_x t + o_x - c_x)^2 + (d_y t + o_y - c_y)^2 + (d_z t + o_z - c_z)^2 = r^2$$

Whitted Ray-Tracing: path

- Path Notation: LD[S]*E



Whitted Ray-Tracing: Pseudo-code

Per ogni pixel nell'immagine:

Crea un raggio, R , dalla telecamera per il pixel

Colore del pixel = $\text{Trace}(R)$

$\text{Trace}(R)$:

Trova la più vicina intersezione (\mathbf{x}, n) tra R e la scena

Ritorna $\text{Shade}(\mathbf{x}, n)$

$\text{Shade}(\mathbf{x}, n)$:

Colore = 0

Per ogni luce nella scena:

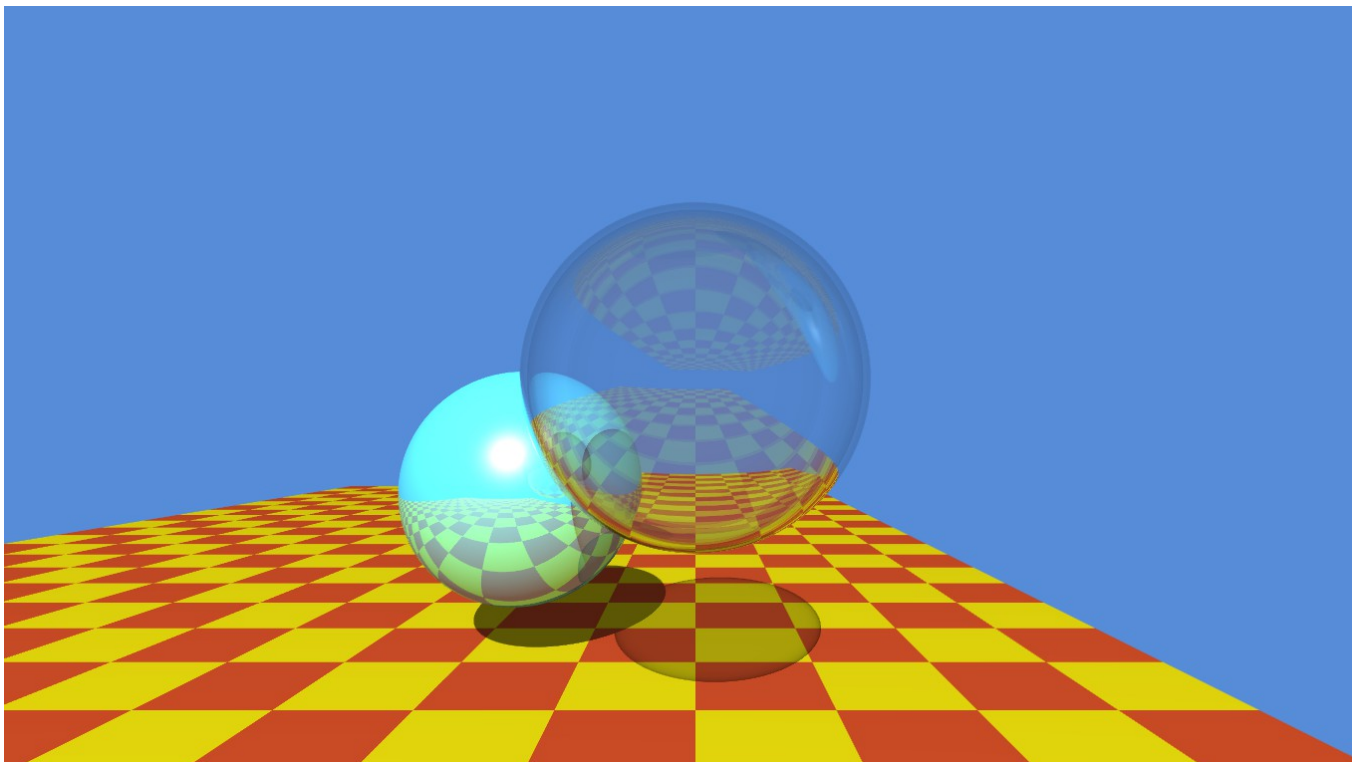
Crea uno *shadow ray*, S , verso la luce

Se S interseca la luce \rightarrow Colore = Colore + luce diretta

Se speculare \rightarrow Colore = Colore + $\text{Trace}(\text{riflesso} / \text{rifratto})$

Ritorna Colore

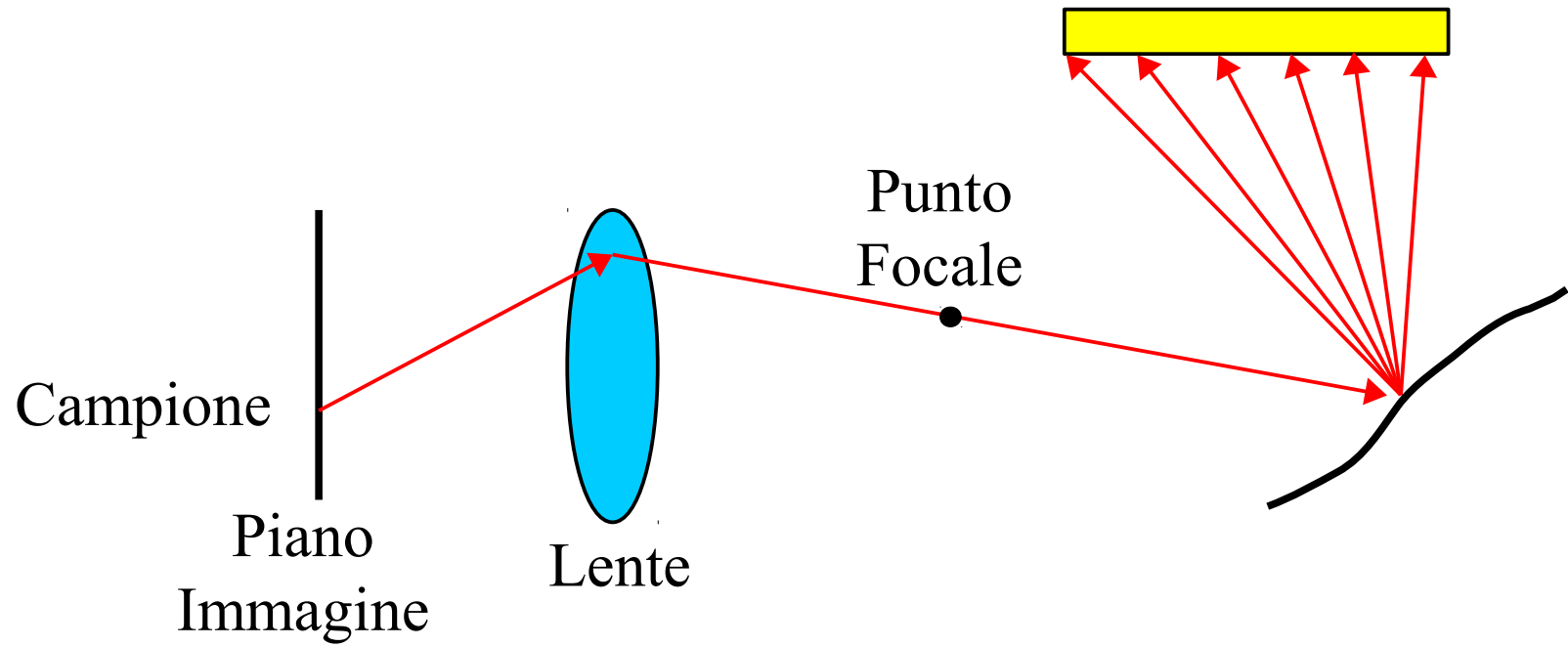
Whitted Ray-Tracing: Esempio



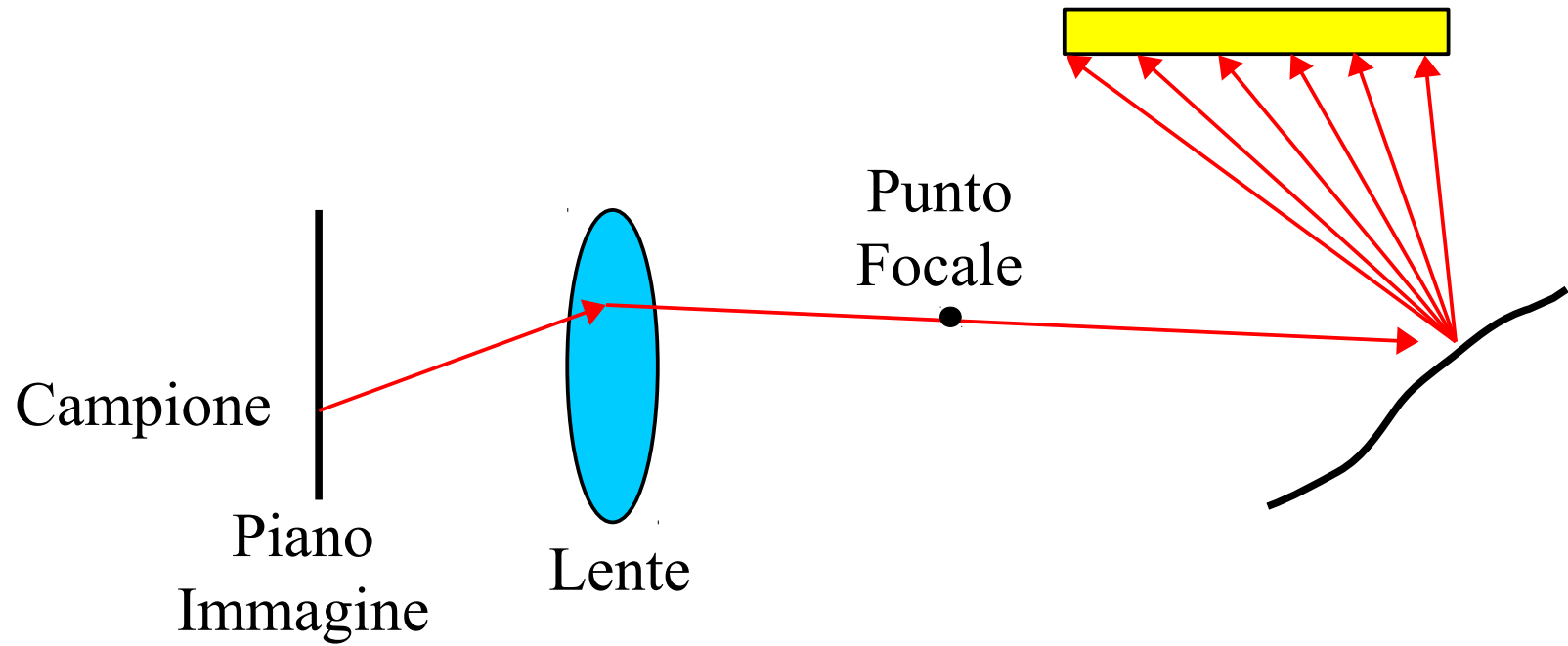
Distributed Ray-Tracing

- Un'estensione del Whitted Ray-Tracing, per simulare i seguenti effetti:
 - Anti Aliasing
 - Area Lights
 - Soft Reflections
 - Motion Blur
 - Depth of Field
- L'idea di base è di lanciare più raggi utilizzando metodi di Monte-Carlo:
 - Buon generatore di numeri casuali; Mersenne Twister
 - Distribuzione di punti: Jittering, Hammersly, Halton, Poisson

Distributed Ray-Tracing: Diagramma



Distributed Ray-Tracing



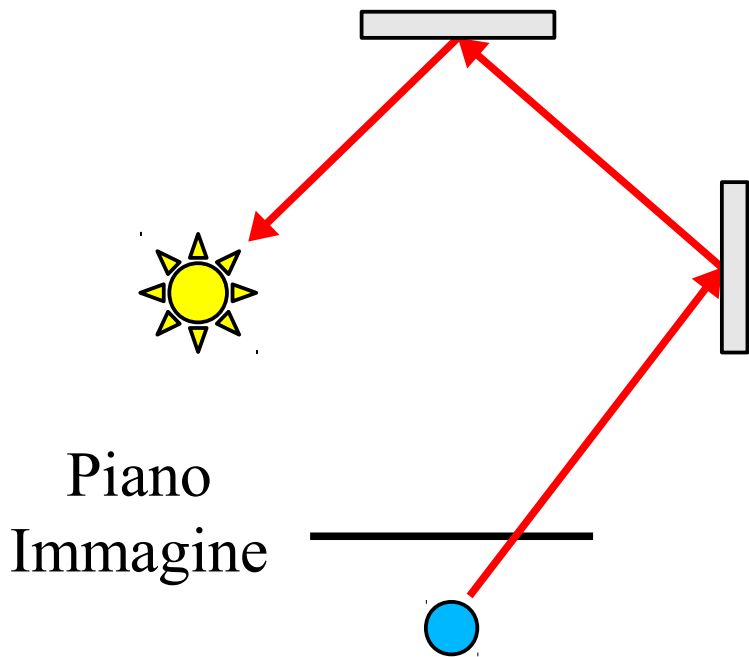
Distributed Ray-Tracing: Esempio



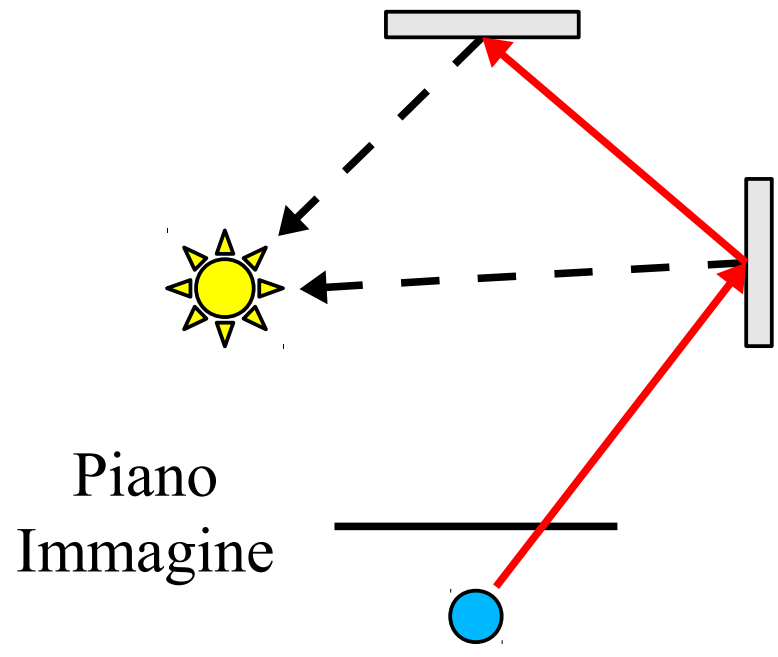
Path-Tracing

- Naturale estensione del Ray-Tracing e Distributed Ray-Tracing
- Per ogni pixel vengono generati N path come nel Distributed Ray-Tracing
- Differenza:** quando viene colpita una superficie viene sempre creato un raggio di riflessione in base alle proprietà del BRDF
- Path Notation: $L(S|D)*E$

Path-Tracing: Implicito ed Esplicito

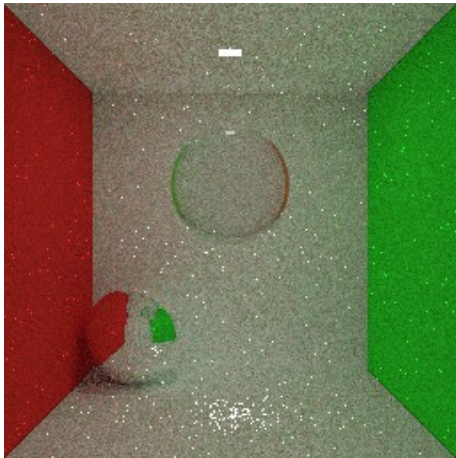


Path-Tracing Implicito

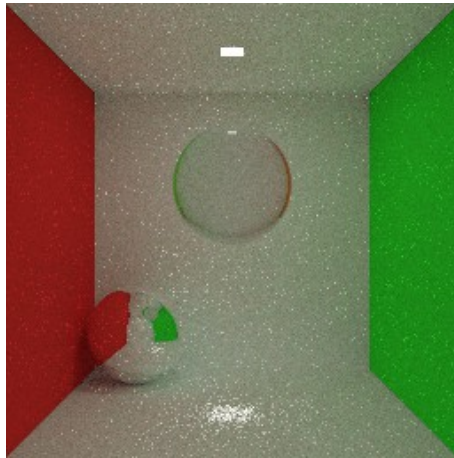


Path-Tracing Esplicito

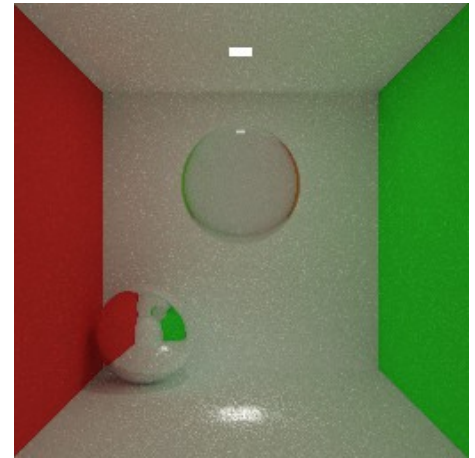
Path-Tracing: Esempio



4 path per pixel



16 path per pixel



64 path per pixel

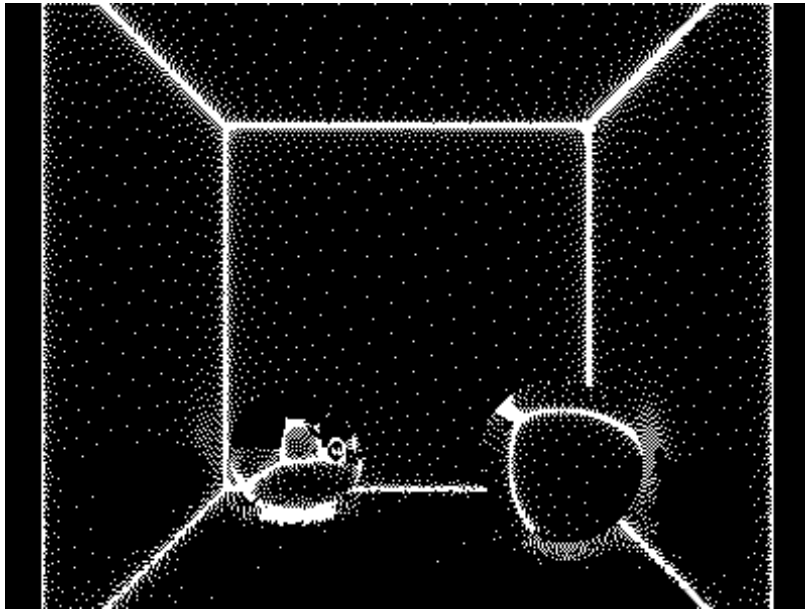
Path-Tracing Conclusioni

- Simulazione di tutti i *path* di illuminazione in modo unbiased
- Le immagini richiedono un'elevato numero di path per ridurre il rumore, circa 1000 *path* per pixel. La varianza del rumore diminuisce proporzionalmente $\frac{1}{\sqrt{N}}$
- Non appena vi è un oggetto riflettente o rifrattivo il rumore aumenta in modo elevato, più di 10000 *path* per pixel sono necessari per ridurre il rumore!

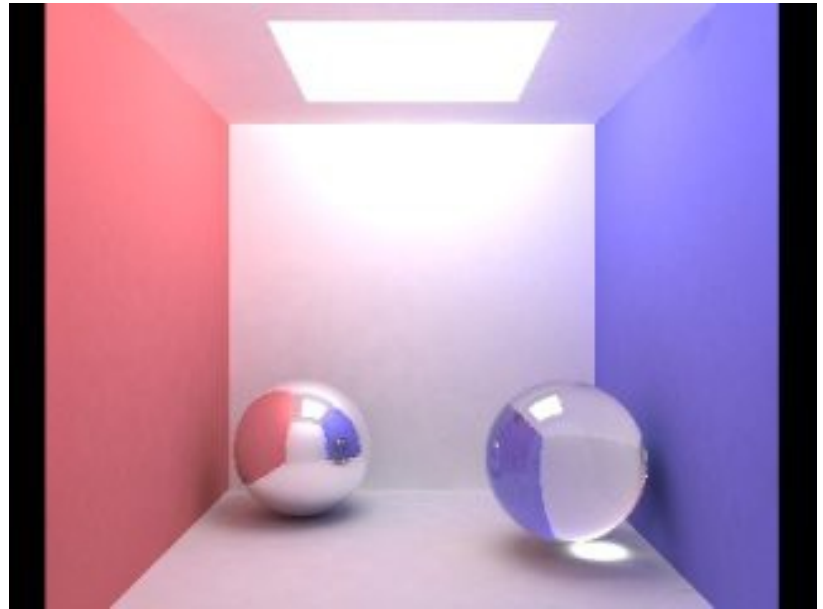
Irradiance Cache

- Si calcola l'irradianza dei *path* solo in alcuni punti della scena in spazio oggetto assumendo che:
 - BRDF diffusivo o a bassa frequenza
 - Geometria *smooth*; bassa frequenza
- Per il resto della scena l'irradianza viene calcolata usando interpolazione
- Punti di cache:
 - Dove la geometria cambia; spigoli e lati
 - Dove l'illuminazione cambia; piano a punti distanti

Irradiance Cache: Esempio



Punti della Cache



Rendering Finale

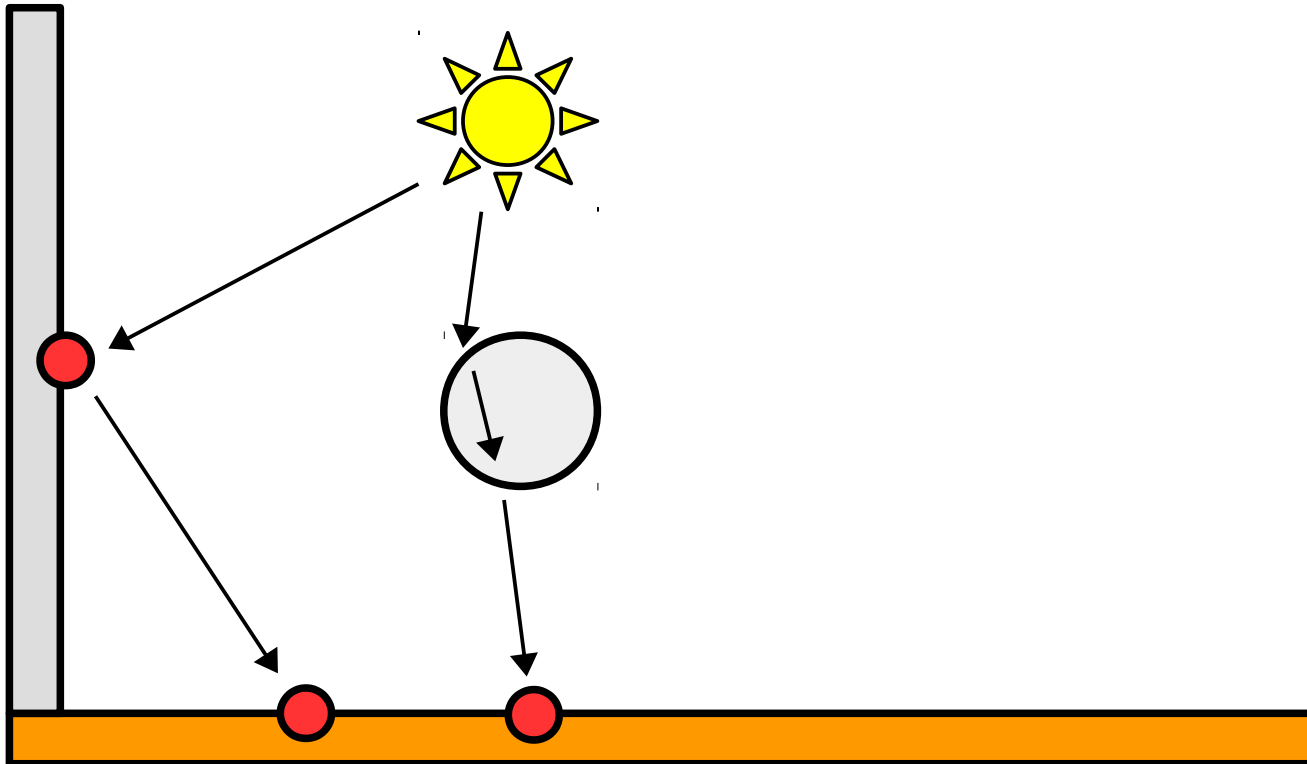
Photon Mapping

- Un algoritmo a due passate:
 - **Prima passata o Photon Tracing:** si lanciano delle particelle, dette fotoni, che partono dalla luce e rimbalzano nella scena finché non vengono assorbite da un materiale
 - **Seconda Passata o Density Evaluation:** viene eseguito il Ray-Tracing classico; quando si colpisce una superficie diffusa si calcola la stima di densità dei fotoni anziché l'illuminazione diretta:

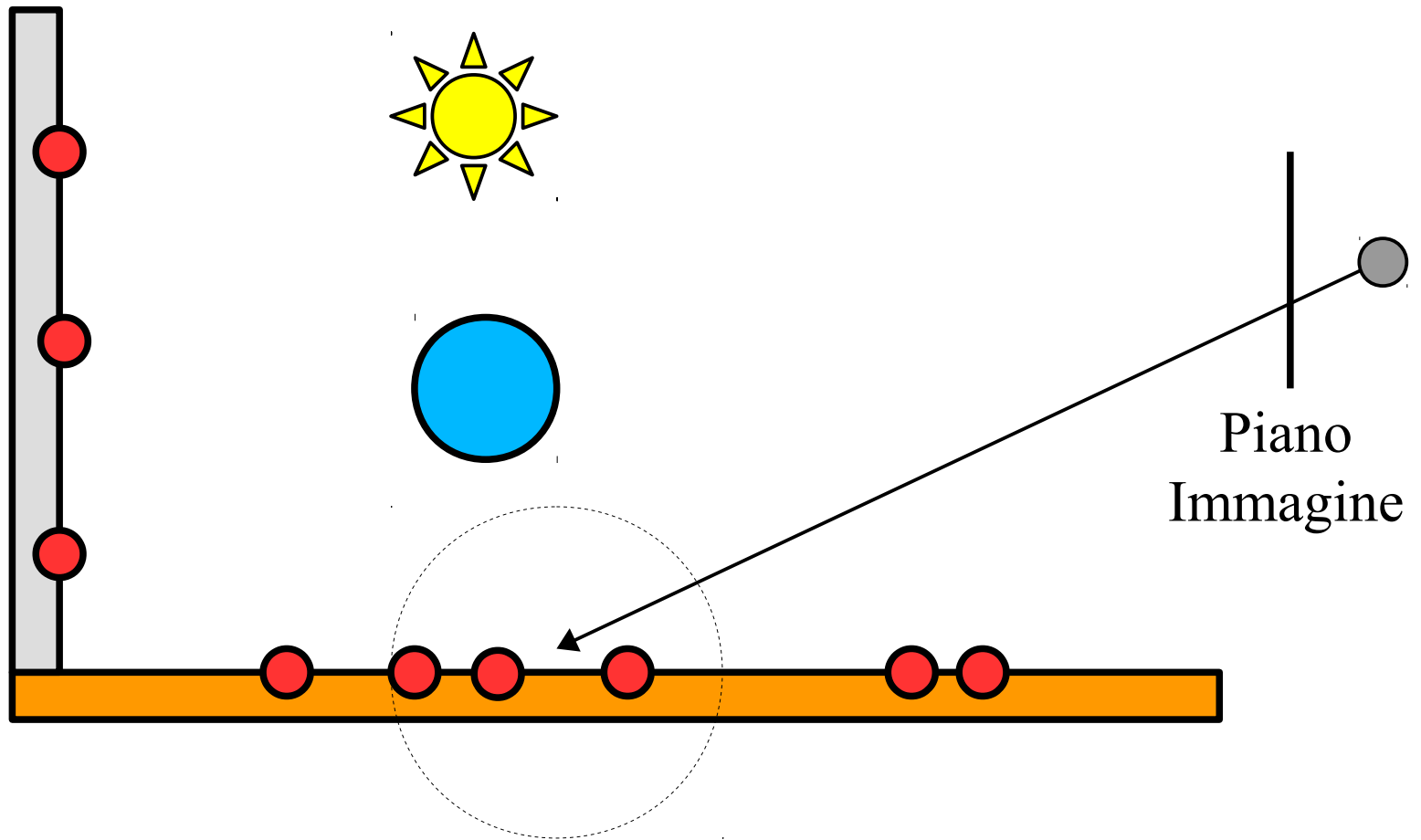
$$\frac{1}{\pi r^2} \sum_{i=1}^N f_r(\mathbf{x}, \vec{\omega}_i \rightarrow \vec{\omega}_o) \Phi_i$$

- Path Notation: $L(S|D)*E$

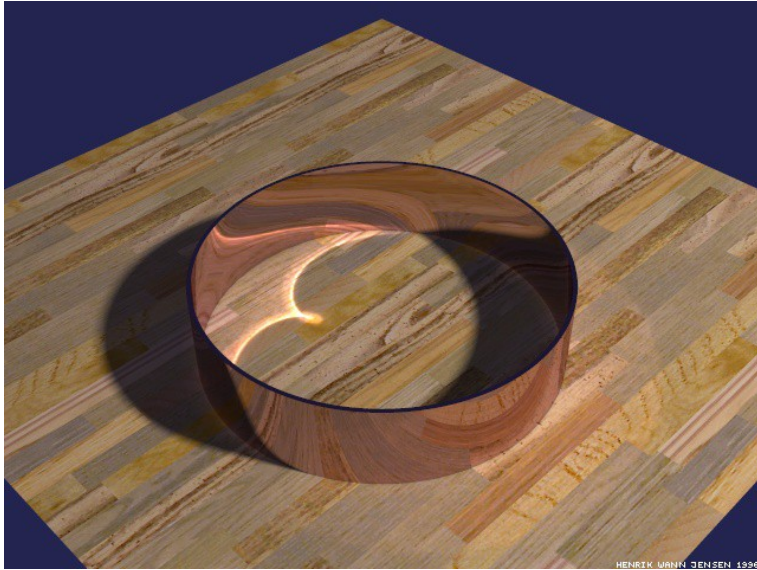
Photon Mapping: Photon Tracing



Photon Mapping: Density Estimation



Photon Mapping: Esempi



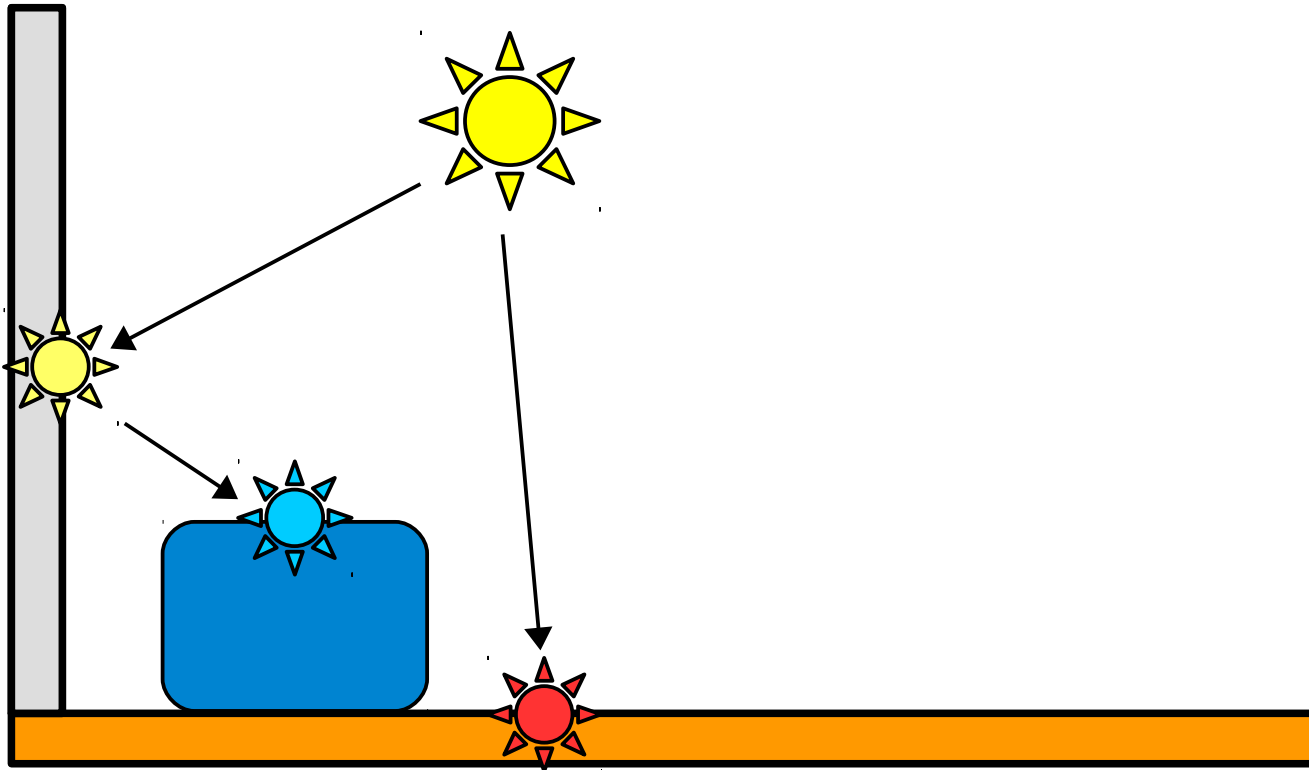
Photon Mapping: Conclusioni

- Il metodo riesce a simulare tutti i path di illuminazione, molto efficace per le caustiche (LSDE)
- Può essere velocizzato con le cache
- Non vi è rumore, **ma** è sostituito dal *bias*
- I parametri dipendono dalla scena!
- Elevato consumo di memoria; l'ordine dei Gbyte per avere almeno 50M di fotoni

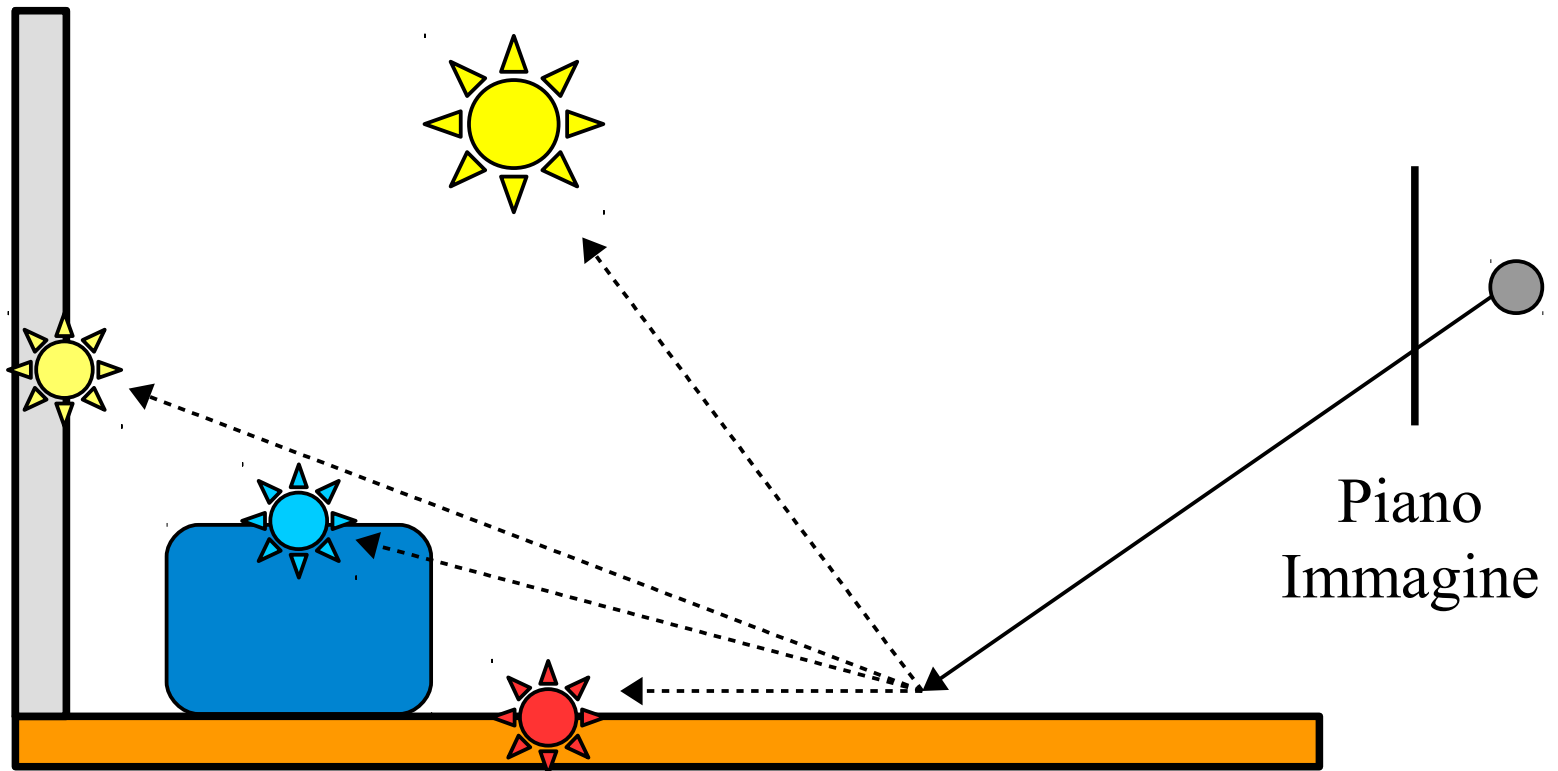
Instant Radiosity

- Un algoritmo a due passate:
 - **Prima Passata o Virtual Light tracing:** simile al photon mapping, si lanciano delle luci virtuali dalla sorgente luminosa
 - **Seconda Passata:** è uguale al Whitted Ray-Tracing o al Distributed, nel quale si valutano anche le luci virtuali oltre a quelle reali
- Path Notation: $L(S|D)*E$

Instant Radiosity: Tracing



Instant Radiosity: Direct and Indirect Lighting



Instant Radiosity: Esempio



Instant Radiosity: Conclusioni

- L'algoritmo è veloce e può essere:
 - Implementato su GPU
 - Usato con cache
 - Produce risultati convincenti
- L'algoritmo tuttavia non riproduce bene:
 - BRDF ad alta frequenza
 - Caustiche
- Inoltre l'algoritmo può produrre aliasing se si generano pochi VPL:
 - Almeno 256 VPL per una stanza chiusa!
- In questo caso un numero elevato di VPL è necessario